

بررسی رفتار پی واقع بر لایه‌های مخلوط خاک و خردلاستیک دانه‌یی: مطالعه‌ی آزمایشگاهی روی مدل‌های کوچک مقیاس و بزرگ مقیاس

ناصر جزداری (دانشجو دکتری)

سید ناصر مقدم تفرشی^{*} (استاد)

دانشکده‌ی مهندسی عمران، دانشگاه صنعتی خواجه نصیرالدین طوسی

در این نوشتار با انجام مطالعات آزمایشگاهی بر روی دو مدل پی دایره‌یی به قطرهای ۱۱/۳ و ۳۰ سانتی‌متر واقع بر پست غیرمسلح و مسلح با ۲، ۱ و ۳ لایه‌ی مخلوط خاک - خردلاستیک دانه‌یی، رفتار بار - نشت است. نتایج آزمایش‌ها نشان می‌دهد که ضخامت بهینه‌ی مخلوط خاک - خردلاستیک صرف نظر از مقیاس آزمایش‌ها (اندازه‌ی مدل پی)، جهت دست‌یابی به بهینه‌ی باربری و کمینه‌ی نشت در حدود ۰/۴ قطر مدل پی است. همچنین استفاده از دو لایه‌ی مخلوط با فاصله‌ی بهینه‌ی معادل ۰/۲ قطر مدل پی از یکدیگر به جای استفاده از یک لایه‌ی مخلوط با ضخامتی معادل مجموع ضخامت دو لایه موجب بهبود بیشتر رفتار پست شود. با افزایش تعداد لایه‌های مخلوط خاک - خردلاستیک^۱، نز افزایش در بهبود باربری پست کاهش می‌یابد، به طوری که با افزایش لایه‌ها به بیش از ۳ لایه و خارج شدن آن‌ها از حوزه‌ی تأثیر تنش وارد بر پی، انتظار بهبود بیشتر در رفتار پست وجود ندارد.

naser_darabi@yahoo.com
nas_moghaddas@kntu.ac.ir

واژگان کلیدی: پست مسلح، مخلوط خاک - خردلاستیک، ظرفیت باربری، نشت، آزمایش‌های کوچک مقیاس و بزرگ مقیاس.

۱. مقدمه

در صدهای مختلف، مقدار بهینه‌ی خردلاستیک برای دست‌یابی به بهینه‌ی باربری کالیفرنیایی و زاویه‌ی اصطکاک داخلی مخلوط خاک - خردلاستیک حدود ۵ تا ۶ درصد به دست آمده است. برخی پژوهشگران^[۱۰]،^[۲۰] نیز مطالعاتی درخصوص اثر ضخامت لایه‌ی مخلوط خاک - خردلاستیک^۲ نواری (فقط یک لایه‌ی مخلوط خاک - خردلاستیک نواری)، ضخامت لایه‌ی خاک غیرمسلح واقع در لایه‌ی مخلوط خاک - خردلاستیک و درصد بهینه‌ی خردلاستیک نواری در میزان نشت و ظرفیت باربری پی مرتعی به بعد ۱۰ سانتی‌متر انجام داده و ضخامت بهینه‌ی خاک غیرمسلح بر روی لایه‌ی مخلوط خاک - خردلاستیک نواری متأنثرا بر بهینه‌ی افزایش در باربری پی را برای نوارهای لاستیک به ابعاد 10×40 میلی‌متر، حدود ۲/۵ سانتی‌متر گزارش کرده‌اند. همچنین در مطالعه‌ی پی در سال ۱۳۹۲^[۱۱] در پژوهه‌های ژئوتکنیکی مورد توجه پژوهشگران مختلف قرار گرفته‌اند.^[۱۰-۱۲]

در این نوشتار با انجام آزمایش‌هایی روی دو مدل پی دایره‌یی به قطر ۱۱/۳ سانتی‌متر (با عنوان مدل فیزیکی کوچک مقیاس) و قطر ۳۰ سانتی‌متر (با عنوان مدل فیزیکی بزرگ مقیاس)، تأثیر ضخامت لایه‌ی مخلوط خاک و خردلاستیک،

گسترش صنعت حمل و نقل نظری سایر صنایع، همواره با مشکلات و مسائل زیست محیطی فراوانی همراه است. از جمله‌ی این مسائل، می‌توان به مشکل اباشته شدن سالانه‌ی میلیون‌ها حلقه‌ی لاستیک ضایعاتی در مناطق مختلف جهان اشاره کرد. مطابق گزارش آژانس حفاظت محیط زیست آمریکا، در سال ۲۰۱۳ پیش از حدود ۲۲۳ میلیون تایر در ایالات متحده‌ی آمریکا تولید شده است. از این تعداد، فقط ۲۲۳ میلیون تایر بازیافت و به چرخه‌ی مصرف وارد و سایر تایرها در دفنیه‌ها دفن و یا در فضاهای خالی و به شکل غیرقانونی در طبیعت رها شده‌اند.^[۱] در سال‌های اخیر، لاستیک‌ها به علت برخورداری از وزن مخصوص پایین، مقامات کششی بالا، دوام زیاد و خاصیت میرایی مناسب، جهت اختلاط با خاک و کاربرد در پروژه‌های ژئوتکنیکی مورد توجه پژوهشگران مختلف قرار گرفته‌اند.^[۱۰-۱۲]

در پژوهشی در سال ۱۹۹۳^[۱۳] با بررسی عملکرد تایرها، استفاده از لاستیک‌های فرسوده به دلیل داشتن مقاومت کششی زیاد در داخل توده‌ی خاک، به عنوان یک ایده‌ی مناسب برای بهبود رفتار خاک و استفاده‌ی مجدد از لاستیک‌های مستعمل مطرح شده است. همچنین در پژوهش دیگری در سال ۲۰۰۹^[۱۴] با انجام آزمایش‌های باربری کالیفرنیا و سه محوری روی نمونه‌های مخلوط خاک - خردلاستیک دانه‌یی با

* نویسنده مسئول

تاریخ: دریافت ۱۴/۰۳/۱۳۹۳، اصلاحیه ۹/۹، پذیرش ۱۵/۰۹/۱۳۹۳.

جدول ۱. خصوصیات دو نوع خاک (کوچک مقیاس و بزرگ مقیاس).

خاک ۲	خاک ۱	پارامترها
(کوچک مقیاس)	(بزرگ مقیاس)	
۴۶/۱۱	۱۵/۳۸	ضریب یکنواختی (C_u)
۶/۱۹	۰/۹۲	ضریب اختناه (C_c)
۱/۵۲	۰/۴۹	D_{10} (mm)
۰/۰۹	۰/۱۳	D_{50} (mm)
۳/۹۴	۱/۴	D_{90} (mm)
۴/۱۵	۲/۰۰	D_{60} (mm)
۰/۷۴	۰/۶۵	نسبت منافذ بیشینه (e_{max})
۰/۲۶	۰/۳۵	نسبت منافذ کمینه (e_{min})
۵/۷۰	۰	درصد رطوبت (%)
۲/۶۵	۲/۶۰	توده‌ی ویژه (G_s)
۴۰/۵	۳۸/۵	زاویه‌ی اصطکاک داخلی Φ (درجه)



شکل ۲. تصویری از خردل استیک مورد استفاده در آزمایش‌ها.

۲. خردل استیک

در کلیه‌ی آزمایش‌ها اعم از کوچک مقیاس و بزرگ مقیاس، از یک نوع خردل استیک حاصل از خردکردن تایرهای فرسوده با دانه‌بندی موردنظر در شکل ۱ استفاده شده است. این نوع خردل استیک، دانه‌هایی با قطر کمینه و بیشینه حدود ۲ و ۲۵ میلی‌متر، وزن مخصوص و توده‌ی ویژه ۱۱/۳۷ کیلوگرم بر مترمکعب، و ۱/۱۷ داشته است. شکل ۲، تصویری از خردل استیک مورد استفاده در آزمایش‌ها را نشان می‌دهد.

به منظور کنترل دقیق آزمایش‌ها، خاک و خردل استیک به صورت وزنی و به طور کاملاً یکنواخت مخلوط شده‌اند. نتایج حاصل از ۲ یا ۳ آزمایش مشابه با اختلاف کمتر از ۶٪ در نتایج، میان اختلاط مناسب و یکنواخت مخلوط خاک - خردل استیک در آزمایش‌هاست.

۳. آزمایش‌های کوچک مقیاس

۳.۱. دستگاه آزمایش

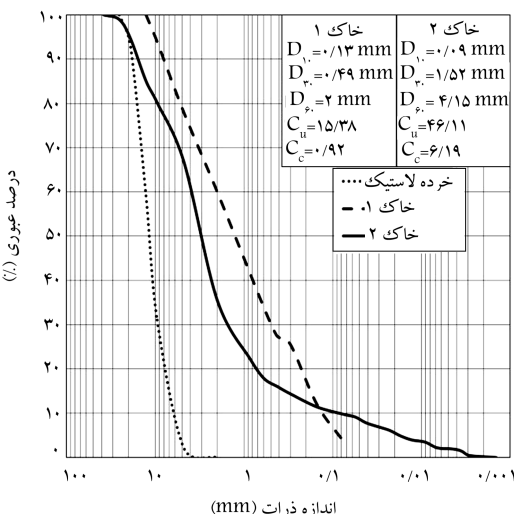
این دستگاه شامل ۳ قسمت اصلی تانک آزمایش، سیستم بارگذاری، و سیستم ثبت قرائت است. تانک آزمایش به ابعاد $80 \times 80 \times 80$ میلی‌متر شامل یک اسکلت فولادی است، که سه وجه جانبی آن برای سبکی و سهولت در جایه‌جایی

فاصله‌ی بین دو لایه‌ی مخلوط، و تعداد لایه‌های مخلوط خاک - خردل استیک تحت بارگذاری استاتیکی در بهبود رفتار بستر بررسی و تجزیه و تحلیل شده است. با توجه به نتایج به دست آمده، [۱۲] در تمامی آزمایش‌های کوچک مقیاس و بزرگ مقیاس مقدار خردل استیک در مخلوط با خاک، معادل ۸٪ وزنی کل لایه (R_c) و عمق مدفون اولین لایه‌ی مخلوط از زیر صفحه‌ی بارگذاری (u) معادل $2/0$ قطر مدل پی (D) انتخاب شده‌اند.

۲. مشخصات مصالح

۲.۱. خاک

با توجه به انجام آزمایش‌ها توسط دو مدل فیزیکی کوچک مقیاس و بزرگ مقیاس (جهت بررسی اثر بعد پی و تأثیر در پارامترهای موردنظر)، دو نوع خاک استفاده شده است. شکل ۱، نمودار دانه‌بندی دو نوع خاک موردنظر را نشان می‌دهد. براساس سیستم طبقه‌بندی یکنواخت دو نوع خاک موردنظر در آزمایش [۱۳] ASTM D۲۴۸۷-۱۱ دارد. خاک های موردنظر آزمایش‌های کوچک مقیاس و بزرگ مقیاس به ترتیب از نوع ماسه با دانه‌بندی بد (SP) و ماسه با دانه‌بندی خوب (SW) طبقه‌بندی شده‌اند. در تمامی آزمایش‌های کوچک مقیاس، خاک موردنظر خشک و چگالی نسبی 77% ($D_r = 0.77$) دارد. خاک موردنظر در آزمایش‌های بزرگ مقیاس با توجه به نتایج آزمایش تراکم اصلاح شده مطابق استاندارد ASTM D۱۵۵۷-۱۲ [۱۴] به ترتیب چگالی خشک پیشینه و رطوبت بهینه ۲۰/۶ گرم بر سانتی‌مترمکعب و $5/7\%$ دارد. خصوصیات فیزیکی و مکانیکی دو نوع خاک مطابق جدول ۱ هستند. علت استفاده از دو نوع خاک، با اندازه‌ی ذرات مختلف در آزمایش‌های کوچک مقیاس و بزرگ مقیاس، رعایت تناسب بین ابعاد دانه‌های خاک و قطر مدل پی در آزمایش‌های کوچک مقیاس و بزرگ مقیاس است. در پژوهشی در سال ۲۰۰۸ [۱۵] براساس مطالعات انجام‌شده روی خاک‌ها با اندازه‌ی ذرات مختلف و صفحات بارگذاری با اندازه مختلف، نسبت بعد مدل پی به اندازه‌ی متوسط ذرات خاک (D_h) دست‌کم برابر ۱۵ توصیه شده است. همچنین از آنجا که هدف از انجام آزمایش‌های کوچک مقیاس و بزرگ مقیاس، مقایسه‌ی کیفی نتایج و ارائه‌ی پارامترهای بدون بعد است، لذا به منظور رعایت نسبت بعد مدل پی به اندازه‌ی متوسط ذرات خاک از دو نوع خاک مختلف استفاده شده است.



شکل ۱. نمودار دانه‌بندی دو نوع خاک و خردل استیک دانه‌بندی.

خاک یا مخلوط و در نهایت رسیدن به تراز فوقانی بستر و محل قرارگیری مدل پی صورت گرفته است. تراکم لایه‌های خاک غیرمسلح و مخلوط خاک - خردلاستیک (یا هر دو به صورت توأم) به ضخامت حدود ۲/۲۵ سانتی‌متر و با اعمال انرژی یکسان بر آن‌ها دو مرتبه اعمال بار ۹۰ کیلوگرم بر یک صفحه‌ی ضخیم صلب به ابعاد 790×790 میلی‌متر روی سطح لایه‌های مورد نظر از طریق جک بارگذاری انجام شده است. وزن مخصوص لایه‌های خاک و مخلوط خاک - خردلاستیک، پس از تراکم به ترتیب برابر $1/183$ و $1/29$ گرم بر سانتی‌متر مکعب به دست آمده‌اند. بدین‌ها است برای رسیدن به تراکم‌های بالاتر باید به جای استفاده از اعمال بار استاتیکی از سیستم‌های کوبشی استفاده شده است. پس از قراردادن مدل پی دایره‌ی به قطر $11/3$ سانتی‌متر بر مرکز بستر و نصب حس‌گرهای نیرو و تغییرمکان، سیستم آماده‌ی بارگذاری شده است. بار به صورت یکنواخت و با نزد $1/5$ کیلوپاسکال بر تابعی اعمال و مقادیر نشست خاک در میزان بار مشخص از طریق سیستم قرائت داده‌ها ثبت شده‌اند.

تانک از MDF متجرک با ضخامت 30 میلی‌متر ساخته شده است. وجه دیگر تانک، از جنس (پلاکسی‌گلاس)^۵ به ضخامت 20 میلی‌متر به منظور مشاهده و عکس‌برداری احتمالی از رفتار و تغییرشکل‌های بستر در خاک زیر پی است. با توجه به اندازه‌گیری‌های انجام شده، تغییرشکل دیواره‌های تانک آزمایش تحت بارهای واردہ بر صفحه‌ی بارگذاری (تا حدود 1000 کیلوپاسکال) تاچیر است. همچنین سیستم بارگذاری شامل یک سیلندر هیدرولیک، مخزن روغن و بخش کنترل کننده با قابلیت اعمال 15 کیلونیوتون است.

سیستم قرائت و ثبت اطلاعات با استفاده از یک واحد قرائت و ثبت داده‌ها، قابل کنترل به وسیله‌ی یک پردازش‌گر داخلی، جریان‌های خروجی از مبدل‌های مختلف (حس‌گرهای اندازه‌گیری نشست و میزان بار قائم وارد بر صفحه‌ی بارگذاری توسط یک حس‌گر اندازه‌گیری نشست و میزان بار قائم وارد بر صفحه‌ی بارگذاری توسط سیلندر هیدرولیکی، توسط یک ساول اندازه‌گیری بار مستقیماً اندازه‌گیری شده‌اند. ظرفیت حس‌گرهای اندازه‌گیری نشست معادل 100 میلی‌متر با دقت $1/10$ ٪ بیشینه‌ی ظرفیت آن (100 میلی‌متر) و ظرفیت سلول بار برابر 20 کیلونیوتون با دقت $1/10$ ٪ بیشینه‌ی ظرفیت آن (20 کیلونیوتون) هستند. مدل پی به قطر $11/3$ سانتی‌متر و ضخامت 20 میلی‌متر است. با توجه به ابعاد تانک آزمایش (بیش از 7 برابر قطر مدل پی)، وجود دیواره‌های تانک تأثیری در رفتار مدل نخواهد داشت.^[۱] شکل ۳، تصویر شماتیک دستگاه آزمایش و پارامترهای مورد استفاده در آزمایش‌های کوچک‌مقیاس را نشان می‌دهد. پارامترهای h_{rs} و h به ترتیب ضخامت لایه‌ی مخلوط خاک روی اولین لایه‌ی مخلوط، ضخامت لایه‌ی مخلوط، و ضخامت خاک بین دو لایه‌ی مخلوط خاک - خردلاستیک هستند.

۲.۳. آماده‌سازی و روش انجام آزمایش‌ها

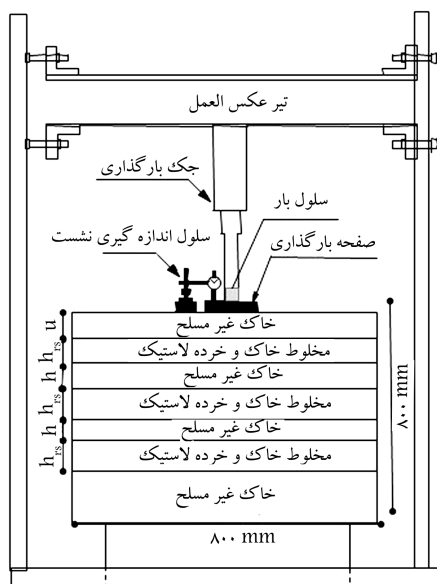
آماده‌سازی بستر جهت آزمایش‌های موردنظر با تراکم خاک در لایه‌های با ضخامت موردنظر و رسیدن به تراز زیرین اولین لایه‌ی مخلوط خاک - خردلاستیک (اولین لایه‌ی مخلوط از پایین) آغاز شده است. سپس با ریختن اولین لایه‌ی مخلوط خاک - خردلاستیک روی سطح خاک، عمل خاک‌ریزی و تراکم آن تا رسیدن به لایه‌ی بعدی

۴. نتایج و بحث

۴.۱. ضخامت بهینه‌ی مخلوط خاک - خردلاستیک (h_{rs}/D)

به منظور تعیین ضخامت بهینه‌ی مخلوط خاک - خردلاستیک (h_{rs})، تعداد 3 آزمایش مستقل (آزمایش‌های سری 2 در جدول ۲) با یک لایه‌ی مخلوط با مقادیر $h_{rs}/D = 0/2, 0/4, 0/8$ و با درصد خردلاستیک در مخلوط با خاک معادل $8/8$ وزنی کل لایه انجام شده است. این درصد خردلاستیک با توجه به نتایج مقدس تقریزی و همکاران^[۱۲] انتخاب شده‌اند. شکل ۴، تغییرات نشش وارد بر پی در مقابل میزان نشست آن (s/D) را برای این 3 آزمایش در مقایسه با آزمایش روی بستر غیرمسلح نشان می‌دهد. ملاحظه می‌شود که با افزایش h_{rs}/D تا میزان $0/4$ (ضخامت بهینه‌ی لایه‌ی مخلوط) ظرفیت باربر افزایش و پس از آن کاهش یافته است.

به منظور بررسی دقیق‌تر اثر ضخامت مخلوط خاک - خردلاستیک (s/D ، مقادیر ظرفیت باربری برای مقادیر مختلف از نسبت نشست $0/10, 0/15, 0/18, 0/20, 0/24, 0/26, 0/28$ ٪ از شکل ۴ استخراج و تغییرات آن در مقابل ضخامت مخلوط (h_{rs}/D) در شکل ۵ ارائه شده است. این تذکر لازم است که اگرچه آزمایش‌ها و همچنین نمودارهای نشش - نشست تا مقادیر نشش حدود 250 کیلوپاسکال



شکل ۳. تصویر شماتیک دستگاه آزمایش کوچک‌مقیاس.

جدول ۲. برنامه و مشخصات آزمایش‌های استاتیکی کوچک مقیاس انجام شده ($R_c = ۱۰\text{ kN}$, $u/D = ۰, ۲$).

سری آزمایش	نوع آزمایش	بسط غیر مسلح	تعداد لایه‌های مخلوط خاک	خرده‌لاستیک (N)	h_{rs}/D	تعداد آزمایش	هدف از انجام آزمایش
۱	بسط حاوی مخلوط خاک - خرده‌لاستیک	-	-	-	-	* ۱ + ۱	مقایسه با آزمایش‌های سری ۲ تا ۴
۲	بسط حاوی مخلوط خاک - خرده‌لاستیک	۱	-	-	۰, ۲۰	* ۲ + ۳	تعیین مقدار بهینه‌ی h_{rs}/D
۳	بسط حاوی مخلوط خاک - خرده‌لاستیک	۲	-	-	۰, ۴۰	* ۳ + ۳	تعیین مقدار بهینه‌ی h/D
۴	بسط غیر مسلح	۳	۰, ۲۰	۰, ۴۰	۰, ۴۰	* ۱ + ۱	بررسی تأثیر تعداد لایه‌های مخلوط خاک - خرده‌لاستیک

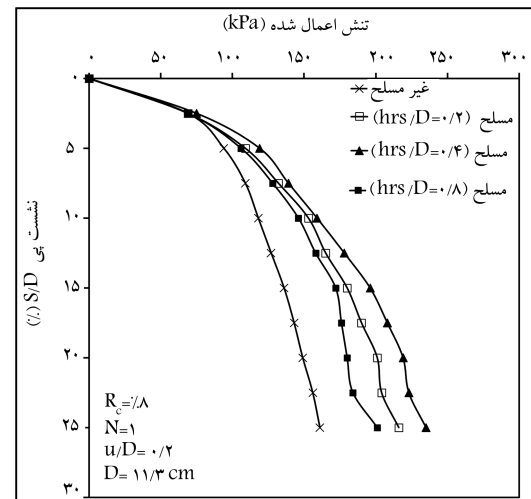
* آزمایش‌های تکراری

(آزمایش‌های کوچک مقیاس) و تنش ۱۰۰۰ کیلوپاسکال (آزمایش‌های بزرگ مقیاس) یا مقادیر نشست حدود ۳۰-۲۵ درصد قطر بی ادامه داده شده‌اند، اما بحث درخصوص ظرفیت باربری بی با درنظرداشتن مقدار نشست آن ضروری است. از این رو این محدوده از نشست ها (کمتر از ۱۲٪ و به خصوص کمتر از ۶٪)، به دلیل ضرورت لحاظکردن محدودیت نشست در موارد عملی و ضوابط طراحی انتخاب شده‌اند.

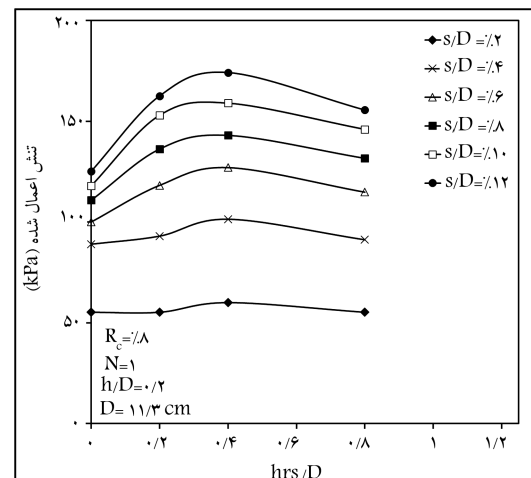
شکل ۵ نشان می‌دهد که برای همهٔ ترازهای نشست، با افزایش h_{rs} به میزان ۴٪ قطر مدل بی (ضخامت بهینه‌ی لایهٔ مسلح)، ظرفیت باربری افزایش و پس از آن کاهش می‌یابد. افزایش در ظرفیت باربری به عملت وجود لایهٔ مخلوط خاک - خرده‌لاستیک در ترازهای نشست بالاتر محسوس‌تر است. عملت این امر را می‌توان به عملکرد مشبّت و اندرکش بهتر دانه‌های خاک - خرده‌لاستیک با افزایش تراز نشست بستر نسبت داد. عملت کاهش باربری بستر غیر مسلح ضخامت لایهٔ مخلوط خاک - خرده‌لاستیک به حدود ۹ سانتی‌متر ($h_{rs}/D = ۰, ۸$) را می‌توان به تغییر رفتار بستر به رفتار نرم، کاهش مدول برشی و شکل‌بندی بیش از حد آن نسبت داد.^[۱] این انتظار وجود دارد که افزایش بیش از حد ضخامت مخلوط، موجب کاهش بیشتر باربری بستر حتی به مقدار کمتر از باربری بستر غیر مسلح شود. از این رو ضخامت بهینه‌ی مخلوط خاک - خرده‌لاستیک جهت بررسی تأثیر فاصله بین لایه‌های مخلوط (آزمایش‌های سری ۳ در جدول ۲) حدود ۴/۵ سانتی‌متر ($h_{rs}/D = ۰, ۴$) در نظر گرفته شده است. در مجموع می‌توان گفت وجود لایهٔ مخلوط با ضخامت بهینه موجب افزایش مقاومت برشی بستر در سطوح گسیختگی زیر بی می‌شود. اگرچه ممکن است این مقدار از h_{rs}/D برای مقدار بزرگ از قطر صفحه‌ای باگذاری زیاد کم دور از ذهن باشد؛ اما این تذکر لازم است که برخی محققان^[۲] در مطالعات خود جهت اجرای خاکریز در یک پروژه‌ی واقعی، لایه‌یی از مخلوط خاک خرده‌لاستیک به ضخامت حدود ۱ تا ۲ متر استفاده کرده‌اند.

۲.۴.۳. ضخامت بهینه‌ی لایه‌ی خاک غیر مسلح بین دو لایه‌ی مخلوط خاک - خرده‌لاستیک (h/D)

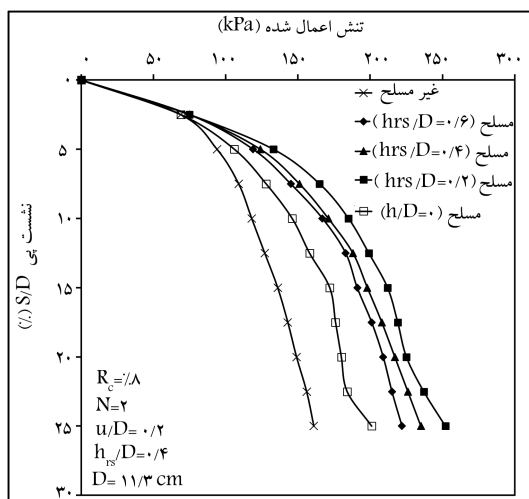
از آنجا که افزایش ضخامت یک لایهٔ مخلوط خاک - خرده‌لاستیک از مقدار حدود ۴/۵ سانتی‌متر ($h_{rs}/D = ۰, ۴$) موجب کاهش ظرفیت باربری بستر شده است، لذا استفاده از دو یا چند لایهٔ مخلوط با ($h_{rs}/D = ۰, ۴$)، می‌تواند مورد توجه قرار گیرد. از این رو ضخامت بهینه‌ی لایه‌ی خاک بین لایه‌های مخلوط



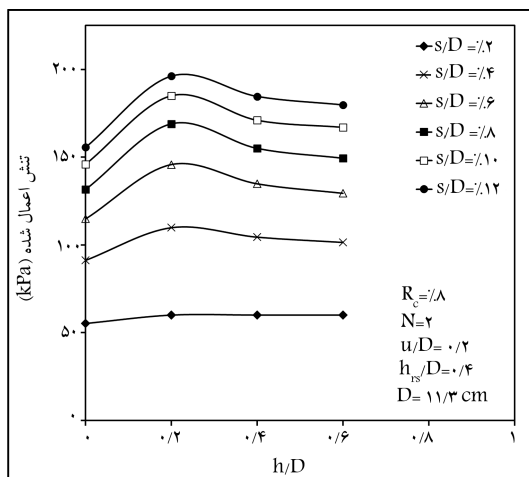
شکل ۴. تغییرات تنش - نشست پی در ضخامت‌های مختلف از مخلوط خاک - خرده‌لاستیک.



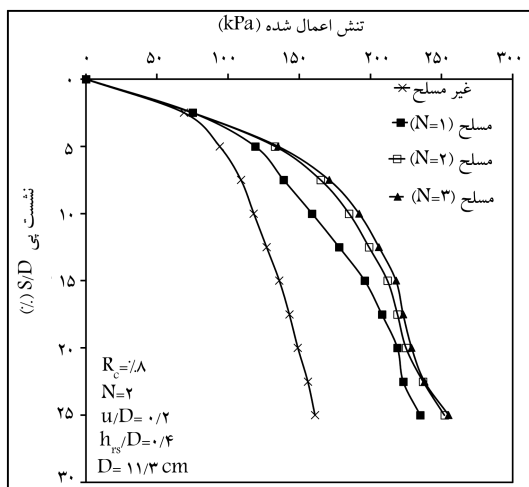
شکل ۵. تغییرات ظرفیت باربری با ضخامت لایه‌ی مخلوط خاک - خرده‌لاستیک (h_{rs}/D) در ترازهای مختلف از نشست پی.



شکل ۶. تغییرات تنش - نشتست پی در ضخامت‌های مختلف از لایه‌ی خاک غیر مسلح بین دو لایه‌ی تسلیح برای $h_{rs}/D = 0,4$.



شکل ۷. تغییرات ظرفیت باربری با ضخامت لایه‌ی خاک غیر مسلح بین دو لایه‌ی تسلیح h/D در ترازهای مختلف از نشتست پی.



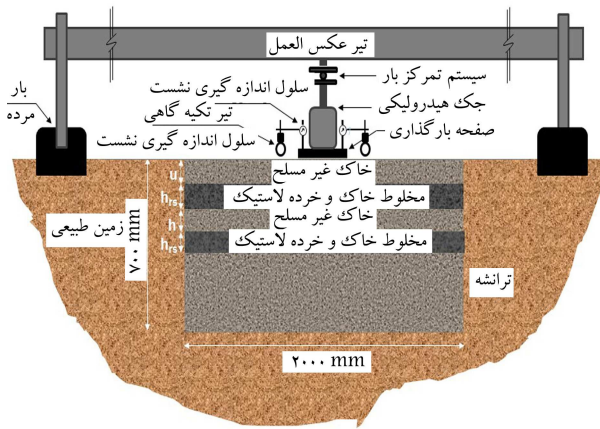
شکل ۸. تغییرات تنش - نشتست پی برای بستر غیر مسلح و بستر مسلح با ۱، ۲ و ۳ لایه‌ی تسلیح با مخلوط خاک - خردلاستیک.

خاک - خردلاستیک (h/D) در سری سوم آزمایش‌ها (جدول ۲) تعیین شده است. شکل ۶، تغییرات باربری پی در مقابل میزان نشتست آن (s/D) را برای مقادیر مختلف از h/D ($h/D = 0,2, 0,4, 0,6$) نشان می‌دهد. مطابق شکل مذکور، ظرفیت باربری ابتدا با افزایش h/D تا یک میزان مشخص (ضخامت بهینه‌ی لایه‌ی خاک غیر مسلح بین دو لایه‌ی مخلوط معادل قطر پی) افزایش و پس از آن کاهش می‌یابد. این افزایش در باربری را می‌توان به وجود لایه‌ی خاک مناسب بین دو لایه‌ی مخلوط خاک - خردلاستیک و عملکرد آن در کاهش تنش روی لایه‌ی دوم نسبت داد. به طور کلی کاهش باربری بستر (با افزایش نشتست بستر) برای مقادیر h/D بزرگ‌تر از $0,2$ را می‌توان از یک طرف به حرکت جانبی بیش از حد لایه‌ی غیر مسلح و تمایل به تشکیل شبکه‌ی سیمختنی در این لایه‌ی خاک در فاصله‌ی بین دو لایه‌ی مخلوط) و از طرف دیگر کاهش اندرکش لایه‌ی دوم مخلوط خاک - خردلاستیک با لایه‌ی اول و دورشدن لایه‌ی دوم از ناحیه‌ی تحت تأثیر تنش نسبت داد. به عبارت دیگر، قرارگیری دو لایه‌ی مخلوط در یک فاصله‌ی مناسب (فاصله‌ی بهینه) از یکدیگر می‌تواند به عنوان یک سیستم مرکب جهت ایجاد بهترین کارایی در افزایش باربری بستر (با درنظرگرفتن معیار نشتست) عمل کند.

به منظور بررسی بیشتر اثر ضخامت لایه‌ی خاک بین دو لایه‌ی مخلوط (h/D) در رفتار بستر، تغییرات ظرفیت باربری در مقابل h/D برای مقادیر مختلف از نسبت نشتست ($s/D = 0,2, 0,4, 0,6, 0,8, 0,10, 0,12$) در شکل ۷ ارائه شده است. مطابق شکل مذکور، با افزایش فاصله‌ی قائم بین دو لایه‌ی مخلوط خاک - خردلاستیک، در تمامی مقادیر s/D ظرفیت باربری تا مقام $h/D = 0,2$ ، افزایش و پس از افزایش فاصله‌ی دو لایه‌ی مخلوط (h/D) به مقادیر $0,4, 0,6, 0,8$ ، $s/D = 0,4$ ، $0,6$ ، $0,8$ ، $1,0$ و $1,2$ در تراز نشتست مذکور می‌توان گفت افزایش فاصله‌ی دو لایه‌ی مخلوط از میزان صفر (یک لایه‌ی مخلوط در هر دو حالت یکسان است، موجب افزایشی حدود ۲۱٪ در میزان ظرفیت باربری بستر می‌شود. براساس نتایج ارائه شده جهت انجام بررسی تعداد لایه‌های تسلیح، فاصله‌ی بهینه بین دو لایه‌ی مخلوط خاک - خردلاستیک حدود ۰,۲۵ سانتی‌متر ($h/D = 0,2$) به میزان $0,2$ ($h_{rs}/D = 0,8$) در حالی که مجموع ضخامت لایه‌های مخلوط در هر دو حالت یکسان است، موجب افزایشی حدود ۷٪ در میزان ظرفیت باربری بستر می‌شود. براساس نتایج ارائه شده جهت انتخاب شده است.

۳.۴.۳. اثر تعداد لایه‌های مخلوط خاک - خردلاستیک (N)

شکل ۸، تغییرات تنش - نشتست پی برای بستر غیر مسلح و بستر مسلح با تعداد $1, 2$ و 3 لایه مخلوط خاک - خردلاستیک ($N = 1, 2, 3$) مطابق شکل مذکور مشاهده می‌شود که با افزایش تعداد لایه‌های تسلیح تا ۲ لایه، ظرفیت باربری و سختی سیستم برای یک میزان معین از نشتست پی در مقایسه با حالت غیر مسلح افزایش قابل ملاحظه‌ی بی ایفته است. افزایش در باربری بستر با افزایش تعداد لایه‌های مخلوط خاک - خردلاستیک به میزان لازم، به علت افزایش سختی بستر (کاهش نشتست در یک میزان با مشخص) است. همچنین با افزایش تعداد لایه‌های مخلوط خاک - خردلاستیک به ۳ لایه، از نز افزایش در ظرفیت باربری پی در مقایسه با ۲ لایه کاسته شده است. عدم افزایش قابل توجه باربری پی از ۲ لایه‌ی مخلوط به ۳ لایه‌ی مخلوط، به علت قرارگیری لایه‌ی سوم مخلوط خاک - خردلاستیک در خارج از حوزه‌ی تأثیر پی و تنش اعمال شده توسط آن است، به طوری که به دلیل عدم بروز تغییر شکل‌های لازم و قابل توجه در



شکل ۱۰. تصویر شماتیک از تراشه و تجهیزات آزمایش.

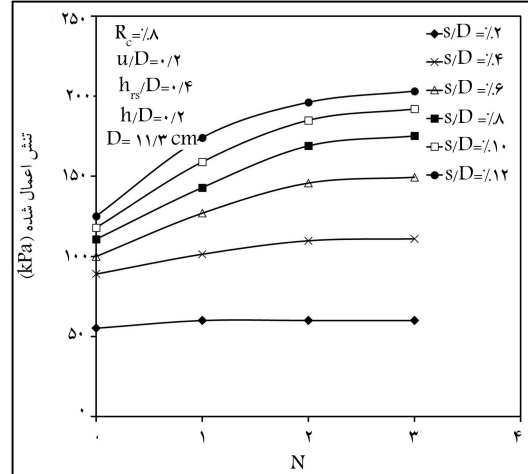
به گونه‌ی انتخاب شود که علاوه بر شبیه‌سازی شرایط واقعی و رعایت شرایط مرزی دیواره‌ای آن، امکان تخلیه و پرکردن تراشه در زمان مناسب توسعه نیروی انسانی وجود داشته باشد. ابعاد سطح بارگذاری (صفحه‌ی بارگذاری)، میزان تنش انتقال‌یافته در نزدیکی دیواره‌های قائم و کف تراشه (تأثیر مرزها)، تحت اثر بار وارد به صفحه‌ی بارگذاری از پارامترهای اصلی برای کنترل ابعاد تراشه هستند. از این رو با توجه به مطالعات انجام شده^[۸]، تراشه‌ی موردنظر با عمق ۷۰۰ میلی‌متر، طول و عرض ۲۰۰۰ میلی‌متر مطابق شکل ۱۰ مناسب است.

جهت اعمال بار بر سطح خاکریز، از یک سیستم بارگذاری هیدرولیک شامل یک جک هیدرولیک و یک پمپ هیدرولیک دستی با قابلیت اعمال بار تا میزان موردنظر (بیشینه‌ی ۱۰۰ کیلونیوتون) استفاده شده است. سربار موردنیاز در آزمایش‌ها توسط ۲ دستگاه کفی تریلر، هر یک به وزن حدود ۸۰ کیلونیوتون با اتصال توسط تیر انتقال به یکدیگر تأمین شده است. طراحی تیر مذکور به‌گونه‌ی بوده است که امکان جابه‌جایی آن و سیستم بارگذاری در انتهای هر آزمایش توسط جرثقیل میسر شود. به‌منظور اندازه‌گیری بار وارد بر صفحه‌ی بارگذاری، از یک نشانگر بار عقبه‌بی با ظرفیت ۵۵۰ کیلونیوتون و دقت ۵٪ کیلونیوتون استفاده شده است. جهت کنترل صحت و دقت اندازه‌گیری بار، این ابزار پس از هر ۲ یا ۳ آزمایش کالیبره شده‌اند. اندازه‌گیری نشست صفحه‌ی بارگذاری با نصب ۳ نشانگر جابه‌جایی با بیشینه‌ی ظرفیت ۱۰۰ میلی‌متر و دقت ۱٪ میلی‌متر با آرایش مثلثی بر روی صفحه‌ی بارگذاری انجام شده است.

۴. آماده‌سازی و روش انجام آزمایش‌ها

به‌منظور آماده‌سازی و تراکم لایه‌های خاک غیرمسلح در چگالی موردنیاز، تراکم آن در رطوبت حدود ۵/۷٪ و در لایه‌های با ضخامت حدود ۶۰ میلی‌متر با یک بار عبور متراکم‌کننده ارتعاشی برای دست‌یابی به وزن مخصوص خشک ۱۶/۲ کیلونیوتون بر مترمکعب انجام شده است. برای بستر مسلح، تراکم لایه‌های مخلوط خاک - خردلاستیک به ضخامت ۶۰ میلی‌متر با دو بار عبور متراکم‌کننده ارتعاشی (با وزن مخصوص ۱۴/۵ کیلونیوتون بر مترمکعب) و تراکم لایه‌های خاک غیرمسلح بین لایه‌های مخلوط نیز به ضخامت ۶۰ میلی‌متر با عبور یک بار متراکم‌کننده ارتعاشی انجام شده است.

پس از آماده‌سازی و تراکم لایه‌های موردنظر در یک آزمایش، تیر انتقال



شکل ۹. تغییرات ظرفیت باربری با تعداد لایه‌های مخلوط خاک - خردلاستیک در تراشه‌ای مختلف از نشست پی.

لایه‌ی سوم و فعال نشدن اندرکنش بین دانه‌های خاک و لاستیک، وجود آن تأثیر قابل توجهی در رفتار سیستم نخواهد داشت. این امر براساس تئوری ساده‌ی توزیع تنش بوسیله‌سک^[۷]، مبنی بر قرارگیری حباب تنش در محدوده‌ی ۱ تا ۲ برابر قطر/عرض پی نیز قابل توجیه است. به هر حال عدم تأثیر محسوس لایه‌ی سوم مخلوط، میان حوزه‌ی تأثیر پی در عمقی حدود ۱/۸ برابر قطر پی (تراز تختانی لایه‌ی سوم) و بی‌نیازی به تسليح بستر با ۴ لایه‌ی مخلوط خاک - خردلاستیک است.

جهت بررسی بهتر تأثیر تعداد لایه‌های مخلوط خاک - خردلاستیک در بهبود ظرفیت باربری پی، تغییرات ظرفیت باربری پی در مقابل تعداد لایه‌های مخلوط خاک - خردلاستیک در تراشه‌ای مختلف نشست (۱۲٪، ۱۵٪، ۱۶٪، ۱۸٪، ۲۰٪، ۲۲٪) (s/D = ۷/۲، ۷/۴، ۷/۶، ۷/۸، ۷/۱۰، ۷/۱۲) در شکل ۹ ترسیم شده است. همان‌طور که ملاحظه می‌شود، صرف‌نظر از میزان نشست پی، ظرفیت باربری آن با افزایش تعداد لایه‌های تسليح افزایش یافته است، اما نزد افزایش باربری از ۲ لایه‌ی تسليح به ۳ لایه در مقاسه با نزد افزایش آن از ۱ لایه به ۲ لایه کاهش چشمگیری داشته است. به عنوان نمونه برای نسبت نشست ۱ لایه به ۲ لایه افزایش باربری ۱۲٪، ۱۵٪، ۱۶٪، ۱۸٪، ۲۰٪، ۲۲٪، ۲۴٪ و ۲۶٪ افزایش یافته است. این افزایش در میزان باربری را می‌توان به علت افزایش مقاومت برشی سیستم به علت وجود لایه‌های مخلوط و در نتیجه جلوگیری از حرکت جانبی مصالح در حوزه‌ی تأثیر پی دانست.

۴. آزمایش‌های بزرگ مقیاس

۴.۱. تجهیزات آزمایش

این آزمایش‌ها براساس استاندارد (ASTM D1196-12)^[۱۸]، بر روی صفحه‌ی بارگذاری از جنس فولاد به قطر ۳۰۰ میلی‌متر و ضخامت ۲۵/۴ میلی‌متر انجام شده‌اند. مطابق این استاندارد، صفحه‌ی بارگذاری باید ضخامت کمیسیه‌ی ۲۵/۴ میلی‌متر و قطر بین ۱۵۰ تا ۷۵۰ میلی‌متر داشته باشد.

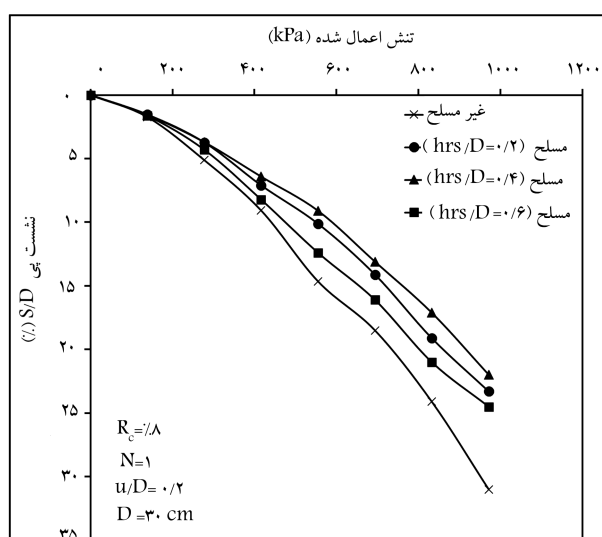
از این رو با توجه به قطر صفحه‌ی بارگذاری^۶، ابعاد تراشه (چاله‌ی آزمایش) باید

۴.۴. نتایج و بحث

همان طور که قبلاً ذکر شده است، با توجه به نتایج به دست آمده،^[۱۲] در تمامی آزمایش‌ها، مقدار خردلاستیک در مخلوط با خاک معادل ۸٪ وزنی کل لایه، ضخامت بین لایه‌های مخلوط (h/D) و عمق مدفون اولین لایه مخلوط از زیر صفحه‌ی بارگذاری (u/D) معادل ۲/۰ است. انتخاب شده است.

۴.۴.۱. ضخامت بهینه‌ی مخلوط خاک - خردلاستیک (h_{rs}/D)

به منظور بررسی اثر ضخامت مخلوط خاک - خردلاستیک (h_{rs}) در رفتار تنش - نشست بستر و تعیین مقدار بهینه‌ی آن، تغییرات ظرفیت باربری پی در مقابل میزان نشست پی (s/D) برای مقادیر مختلف h_{rs}/D در شکل ۱۲ آرائه شده است. مطابق شکل مذکور ملاحظه می‌شود که با افزایش h_{rs}/D تا یک میزان مشخص (۴) ظرفیت باربری افزایش و پس از آن کاهش یافته است. از این رو ضخامت بهینه‌ی h_{rs} برای بستر مسلح با یک لایه مخلوط، حدود ۴/۰ قطر صفحه‌ی بارگذاری ($h_{rs}/D = ۰/۴$) است. این تذکر لازم است که این مقدار از h_{rs}/D مشابه نتایج حاصل از آزمایش کوچک مقیاس است. به منظور بررسی دقیق تر اثر ضخامت مخلوط در ظرفیت باربری و نشست پی،



شکل ۱۲. تغییرات تنش - نشست پی در ضخامت‌های مختلف از مخلوط خاک - خردلاستیک.

جدول ۳. برنامه و مشخصات آزمایش‌های استاتیکی بزرگ مقیاس.

سری آزمایش	نوع آزمایش	تعداد آزمایش خردلاستیک (N)	تعداد لایه‌های مخلوط خاک - خردلاستیک	تعداد آزمایش	تعداد	هدف از انجام آزمایش
۱	غیرمسلح	-	-	-	--	مقایسه با شرایط مسلح
۲	مسلح با مخلوط خاک - خردلاستیک	۱	۰/۴۰	* ۲ + ۳	--	تعیین مقدار بهینه‌ی D/h_{rs}
۳	آزمایش‌های تکراری	۲	۰/۲۰	* ۱ + ۱	--	بررسی تأثیر تعداد لایه‌های مخلوط خاک - خردلاستیک

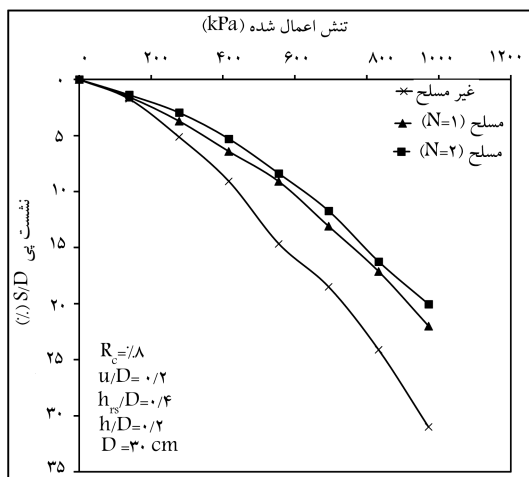
بار توسط جرنیقیل در محل خود نصب و سپس با نصب صفحه‌ی بارگذاری، سیستم اعمال نیرو و ابزارهای اندازه‌گیری نیرو و نشست در محل خود، مجموعه آمده‌ی آزمایش و بارگذاری شده است. ضمن اعمال بار استاتیکی با نرخ ۱/۵ کیلوپاسکال برثانیه، مقادیر نشست صفحه‌ی بارگذاری (قرائت‌های ۳ نشان‌گراندازه‌گیری جایه‌جایی) در ترازهای مشخص از بار قرائت و ثبت شده‌اند. شکل ۱۱، تصویری از تراشه‌ی مورد نظر به همراه ابزارهای اندازه‌گیری و سیستم بارگذاری را نشان می‌دهد.

۴.۴.۲. برنامه و مشخصات آزمایش‌ها

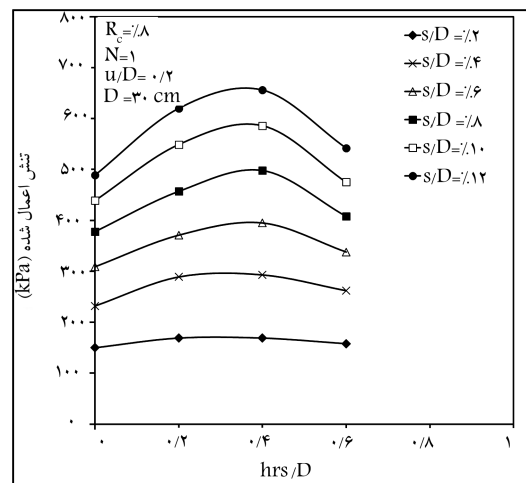
جدول ۳، برنامه و مشخصات آزمایش‌های مورد نظر جهت بررسی اثر تسليح با لایه‌های مخلوط خاک - خردلاستیک در افزایش ظرفیت باربری و کاهش نشست بستر را نشان می‌دهد. مطابق جدول مذکور در مجموع تعداد ۹ آزمایش ۵ آزمایش مستقل و ۴ آزمایش تکراری) جهت بررسی اثر ضخامت مخلوط خاک - خردلاستیک (h_{rs}) و اثر تعداد لایه‌های مخلوط خاک - خردلاستیک (N) در ظرفیت باربری و نشست مدل پی انجام شده است. نتایج آزمایش‌های تکراری در مقایسه با یکدیگر، اختلاف بیشینه‌ی ۶٪ دارند. بروز چنین خطایی به عمل تغیرات هر چند کوچک در تراکم لایه‌های بستر در حین آماده‌سازی و یا خطای اندازه‌گیری است.



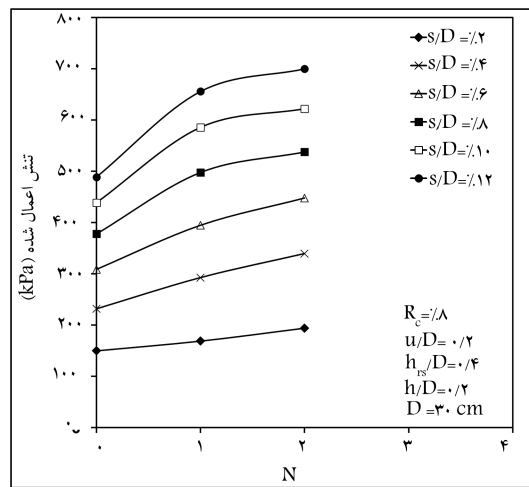
شکل ۱۱. تراشه و تجهیزات برای انجام آزمایش.



شکل ۱۴. تغییرات تنش - نشست پی برای بستر غیرمسلح و بستر مسلح با ۱ و ۲ لایه‌ی تسليح با مخلوط خاک - خردلاستیک.



شکل ۱۳. تغییرات ظرفیت باربری با ضخامت لایه‌ی مسلح (h_{rs}/D) در ترازهای مختلف از نشست پی.



شکل ۱۵. تغییرات ظرفیت باربری با تعداد لایه‌های مختلف مخلوط خاک - خردلاستیک در ترازهای مختلف از نشست پی.

به اثر تعداد لایه‌های مخلوط خاک - خردلاستیک در آزمایش‌های کوچک مقیاس می‌بینیم تأثیر ناچیز استفاده از ۳ لایه‌ی مخلوط خاک - خردلاستیک در مقایسه با استفاده از ۲ لایه است، لذا به منظور صرفه‌جویی در وقت و هزینه در آزمایش‌های موردنظر با صفحه‌بی به قطر ۳۰ سانتی‌متر، فقط اثر ۲ لایه‌ی مخلوط در افزایش باربری بررسی شده است. مطابق شکل مذکور، اگرچه با افزایش تعداد لایه‌های تسليح (لایه‌ی مخلوط)، سختی و ظرفیت باربری سیستم برای یک میزان معین از نشست پی در مقایسه با حالت غیرمسلح افزایش ملاحظه‌بی یافته است، اما با افزایش تعداد لایه‌ها از ۱ به ۲ لایه، نزدیک در رفتار بستر در حال کاهش است. این امر تأییدی بر عدم ضرورت انجام آزمایش با ۳ لایه‌ی مخلوط خاک - خردلاستیک است. جهت بررسی بهتر تأثیر تعداد لایه‌های مخلوط خاک - خردلاستیک در پهیود ظرفیت باربری پی در آزمایش‌های بزرگ مقیاس، منحنی تغییرات باربری پی در مقابل تعداد لایه‌های تسليح برای ترازهای مختلف نشست (٪۱۲، ٪۱۰، ٪۸، ٪۶، ٪۴، ٪۲) در شکل ۱۵ ترسیم شده است. مطابق شکل مذکور مشاهده می‌شود که صرف نظر از میزان نشست پی، ظرفیت باربری با افزایش تعداد لایه‌های تسليح افزایش یافته است. عنوان نمونه برای نسبت نشست

تغییرات ظرفیت باربری در مقابل ضخامت مخلوط (h_{rs}/D) برای مقادیر مختلف از نشست نشست پی (٪۱۲، ٪۱۰، ٪۸، ٪۶، ٪۴، ٪۲) در شکل ۱۳ ارائه شده است. در تمامی ترازهای نشست، با افزایش ضخامت لایه‌ی مخلوط خاک - خردلاستیک تا مقدار حدود $4D/h_{rs} = 0.4$ ، ظرفیت باربری پی افزایش و پس از آن کاهش یافته است. به عنوان مثال، در تراز نشست پی ($s/D = ٪۶$)، ظرفیت باربری بستر غیرمسلح و بستر مسلح با ضخامت‌های مخلوط خاک - خردلاستیک ۶ سانتی‌متر ($h_{rs}/D = ٪۲$ ، $٪۱۲$ سانتی‌متر)، $h_{rs}/D = ٪۹$ و $٪۱۸$ سانتی‌متر ($h_{rs}/D = ٪۶$) به ترتیب برابر 321 ، 3095 ، 328 و 395 کیلوپاسکال هستند. در این حالت ظرفیت باربری بستر حاوی یک لایه مخلوط خاک - خردلاستیک به ضخامت بهینه‌ی 12 سانتی‌متر ($h_{rs}/D = ٪۰$) در مقایسه با ظرفیت باربری بستر غیرمسلح در حدود $٪۳۰$ افزایش یافته است. علت کاهش باربری بستر با افزایش ضخامت لایه‌ی مخلوط خاک - خردلاستیک به حدود 18 سانتی‌متر ($h_{rs}/D = ٪۰$)، تغییر رفتار بستر به رفتار نرم، کاهش مدول پرشی، و شکل پذیرشدن بیش از حد آن است. به عبارت دیگر، می‌توان گفت اگرچه تخلخل لایه‌ی مخلوط خاک - خردلاستیک صرف نظر از مقدار ضخامت آن ثابت است، اما قابلیت فشردگی آن افزایش می‌یابد. به عبارت دیگر، با افزایش بیش از حد ضخامت لایه‌ی مخلوط، به جای پهیود در عملکرد آن در اندرکش با لایه‌ی خاک بالا و پایین خود، موجب افزایش تراکم بستر زیر پی، افزایش نشست و کاهش باربری بستر می‌شود.

بنابراین ضخامت بهینه‌ی مخلوط خاک - خردلاستیک جهت بررسی تأثیر دو لایه‌ی مخلوط (آزمایش‌های سری ۳ در جدول ۳) برابر 12 سانتی‌متر ($h_{rs}/D = ٪۰$) لحاظ شده است.

۲.۴. اثر تعداد لایه‌های مخلوط خاک - خردلاستیک (N)

از آنجا که استفاده از یک لایه‌ی مخلوط خاک - خردلاستیک با ضخامت بیشتر از ضخامت بهینه‌ی آن (بخش ۱.۴.۴) موجب کاهش باربری بستر می‌شود، لذا استفاده از مخلوط خاک - خردلاستیک در چند لایه را می‌توان با توجه به نتایج آزمایش‌های کوچک مقیاس مورد بررسی قرار داد. شکل ۱۴، تغییرات تنش نشست پی برای بستر غیرمسلح و بستر مسلح با تعداد ۱ و ۲ ($N = ۱, ۲$) لایه‌ی مخلوط خاک - خردلاستیک با ضخامت 12 سانتی‌متر ($h_{rs}/D = ٪۰$) را با درنظرگرفتن مقادیر $٪۰, ٪۲, ٪۴, ٪۶, ٪۸, ٪۱۰, ٪۱۲$ نشان می‌دهد. از آنجا که نتایج مربوط

۲. ضخامت بهینه‌ی لایه‌ی مخلوط خاک - خردلاستیک در هر دو سری آزمایش‌های کوچک‌مقیاس و بزرگ‌مقیاس در حدود $۰,۴$ قطر صفحه‌ی بارگذاری ($h_{rs}/D = ۰,۴$) به‌دست آمده است. این امر مبنی عدم تأثیر نوع خاک، تراکم بستر، و ابعاد صفحه‌ی بارگذاری در مقدار بهینه‌ی ضخامت مخلوط است.

۳. ضخامت بهینه‌ی لایه‌ی خاک بین دو لایه‌ی مخلوط خاک - خردلاستیک در آزمایش کوچک‌مقیاس در حدود $۰,۲$ قطر صفحه‌ی بارگذاری ($h/D = ۰,۲$) به‌دست آمده است.

۴. با افزایش تعداد لایه‌های مخلوط خاک - خردلاستیک، نزخ افزایش در بهبود باربری بستر کاهش می‌یابد، به‌طوری‌که با افزایش تعداد لایه‌ها به بیش از ۳ لایه و خارج شدن آن‌ها از حوزه‌ی تأثیر تنش وارد بر پی، انتظار بهبود بیشتر در رفتار بستر وجود ندارد.

اگرچه نتایج حاصل از این پژوهش می‌تواند جنبه‌هایی از کاربرد خردلاستیک در مخلوط با خاک را روشن کند، اما به هر منظور برای درک بیشتر رفتار مخلوط خاک - خردلاستیک، توجه به این موارد در مطالعات آتی مناسب خواهد بود:
- از آنجا که در آزمایش‌های بزرگ‌مقیاس، مقدار $۰,۲$ h/D براساس نتایج آزمایش‌های کوچک‌مقیاس و همچنین نتایج به‌دست آمده،^[۱۲] روی آزمایش‌های بزرگ‌مقیاس انتخاب شده است، لذا بررسی بیشتر درخصوص مقدار بهینه‌ی آن در مطالعات آتی توصیه می‌شود.

- به منظور تعیین حوزه و عمق نفوذ تنش ناشی از بار واردہ بر سطح بارگذاری، اندازه‌گیری تنش در عمق بستر و زیر سطح بارگذاری مفید است. این امر به دلیل محدودیت در تأمین فشارسنج در این پژوهش مقدور نشده است. در مجموع می‌توان گفت استفاده از لایه‌ی مخلوط خاک - خردلاستیک می‌تواند موجب پخش بار در سطح بیشتری شود و تنش انتقال‌یافته در عمق و به عبارتی حوزه‌ی نفوذ بار را کاهش دهد.

- به منظور بررسی اثر اندازه‌ی ذرات خاک و نقش آن در رفتار پی می‌توان از انواع خاک با اندازه‌ی متوسط ذرات (D_{50}) مختلف در مطالعات آتی استفاده کرد.

- از آنجا که فرسودگی دانه‌های لاستیک در مخلوط با خاک می‌تواند عملکرد مخلوط را تحت تأثیر قرار دهد، لذا در مطالعات آتی بررسی اثر این عامل در میزان باربری و نشست بستر مناسب توصیه می‌شود.

- از آنجا که امکان تغییر در ضخامت بهینه‌ی مخلوط خاک - خردلاستیک با تغییر در درصد خردلاستیک وجود دارد، لذا انجام مطالعات بیشتر جهت بررسی این موضوع مفید خواهد بود.

علائم اختصاری

D : قطر صفحه‌ی بارگذاری؛

u : پوشش خاک روی اولین لایه‌ی مخلوط خاک - خردلاستیک؛

h : فاصله‌ی بین دو لایه‌ی مخلوط خاک - خردلاستیک؛

N : تعداد لایه‌های مخلوط خاک - خردلاستیک؛

h_{rs} : ضخامت لایه‌های مخلوط خاک - خردلاستیک؛

D : چگالی نسبی خاک؛

s : نشست پی.

$s/D = ۰,۶$ ، ظرفیت باربری برای بستر غیرمسلح و بستر مسلح با ۱ و ۲ لایه مخلوط خاک - خردلاستیک به ترتیب حدود $۳۹۵, ۳۰۸$ و ۴۴۵ کیلوپاسکال است. به عبارت دیگر با افزایش تعداد لایه‌های مخلوط خاک - خردلاستیک از ۰ به ۱ لایه، میزان افزایش حدود ۲۸% و از ۱ به ۲ لایه حدود $۱۳,۵\%$ است. در مجموع افزایش در باربری بستر به علت تسییح با لایه‌ی مخلوط خاک - خردلاستیک را می‌توان به افزایش فشار همه‌جانبه، جلوگیری از حرکت جانبی لایه‌های بستر و در نتیجه افزایش مقاومت برشی بستر در لایه‌های مختلف آن در مقایسه با بستر غیرمسلح نسبت داد.

۵. مقایسه‌ی آزمایش‌های کوچک‌مقیاس با آزمایش‌های بزرگ‌مقیاس

درخصوص مقایسه‌ی نتایج آزمایش‌های کوچک‌مقیاس (مدل پی با قطر $۱۱,۳۱$ سانتی‌متر) و بزرگ‌مقیاس (مدل پی با قطر ۳۰ سانتی‌متر)، این مواد بیان شده است:

۱. اگرچه نتایج آزمایش‌های کوچک‌مقیاس و بزرگ‌مقیاس از نظر کیفی تفاوت قابل توجهی دارند، اما رفتار تنش - نشست مدل پی و تأثیر پارامترهای مختلف در رفتار بستر در هر دو آزمایش از نظر کیفی یکسان است.

۲. اختلاف در میزان باربری پی در دو آزمایش کوچک‌مقیاس و بزرگ‌مقیاس در شرایط یکسان از نسبت ضخامت مخلوط خاک - خردلاستیک (h_{rs}/D) را می‌توان به مقایسه در مدل پی و تفاوت نوع خاک (یا به عبارتی مدل پی و نوی خاک) در دو حالت آزمایش کوچک‌مقیاس و بزرگ‌مقیاس نسبت داد.

۳. نسبت ضخامت بهینه‌ی لایه‌ی مخلوط خاک - خردلاستیک به قطر مدل پی در هر دو حالت یکسان و برابر ($h_{rs}/D = ۰,۴۰$) است. این امر نشان می‌دهد که مقدار بهینه‌ی D مستقل از ابعاد مدل پی و توزیع اندازه‌ی ذرات خاک است.

۴. روند تأثیر افزایش تعداد لایه‌های مخلوط خاک - خردلاستیک در افزایش باربری و نشست بستر در هر دو حالت یکسان است.

به حال بررسی بیشتر جهت دستیابی به ارتباط نتایج آزمایش‌های کوچک‌مقیاس و بزرگ‌مقیاس، با انجام آزمایش روی قطرهای مختلف از پی در مطالعات آتی مفید خواهد بود.

۶. نتیجه‌گیری و پیشنهادها

هدف از انجام آزمایش‌های موردنظر، از یک طرف بررسی تأثیر استفاده از لایه‌های مخلوط خاک - خردلاستیک در باربری و نشست بستر و از طرف دیگر مقایسه‌ی کیفی رفتار بستر در دو حالت کوچک‌مقیاس و بزرگ‌مقیاس (مقایسه‌ی نسبت ضخامت بهینه‌ی بهینه به قطر صفحه‌ی بارگذاری) تحت بارگذاری استاتیکی است. در این خصوص، این نتایج به‌دست آمده است:

۱. با قرارگیری یک لایه مخلوط خاک - خردلاستیک به ضخامت بهینه (h_{rs}) در عمق بهینه (D)، ظرفیت باربری پی در یک میزان نشست مشخص در مقایسه با بستر غیرمسلح افزایش و نشست آن در یک میزان باربری مشخص در مقایسه با بستر غیرمسلح کاهش می‌یابد.

پانوشت‌ها

1. footing settlement
2. number of rubber-soil mixture layers
3. height of rubber-soil mixture layer
4. relative density
5. Plexiglass
6. loading plate diameter

منابع (References)

1. Rubber Manufacturers Association, RMA, (2013). (<http://www.rma.org>)
2. Bosscher, P.J., Edil, T.B. and Eldin, N.N. "Construction and performance of a shredded waste tire test embankment", *Transportation Research Record*, Washington, D.C., **1345**, pp. 44-52 (1993).
3. Hataf, N. and Rahimi, M.M. "Experimental investigation of bearing capacity of sand reinforced with randomly distributed tire shreds", *Construction and Building Materials*, **20**(10), pp. 910-916 (2006).
4. Feng, Z.Y. and Sutter, K.G. "Dynamic properties of granulated rubber sand mixtures", *Geotech. Test. J.*, **23**(3), pp. 338-344 (2000).
5. Munnoli, P.M., Sheikh, S., Mir, T., Kesavan, V. and Jha, R. "Utilization of rubber tyre waste in subgrade soil", In *Global Humanitarian Technology Conference*, South Asia Satellite (GHTC-SAS), pp. 330-333 (2013).
6. Yoon, Y.W., Cheon, S.H. and Kang, D.S. "Bearing capacity and settlement of tire-reinforced sands", *Geotextiles and Geomembranes*, **22**(5), pp. 439-453 (2004).
7. Yoon, S., Prezzi, M., Siddiki, N.Z. and Kim, B. "Construction of a test embankment using a sand-tire shred mixture as fill material", *Waste Management*, **26**(9), pp. 1033-1044 (2006).
8. Moghaddas Tafreshi, S.N., Tavakoli Mehrjardi, Gh. and Dawson, A.R. "Buried pipes in rubber-soil back-filled trenches under cyclic loading", *Geotechnical and Geoenvironmental Eng., ASCE*, **138**(11), pp. 1346-1356 (2012).
9. Prasad, D.S.V. and Prasada Raju, G.V.R. "Performance of waste tyre rubber on model flexible pavement", *ARPN, Journal of Engineering and Applied Sciences*, **4**(6), pp. 89-92 (2009).
10. Moghaddas Tafreshi, S.N. and Norouzi, A.H. "Bearing capacity of a square model footing on sand reinforced with shredded tire – An experimental investigation", *Construction and Building Materials*, **35**, pp. 547-556 (2012).
11. Edincliler, A. and Cagatay, A. "Weak subgrade improvement with rubber fibre inclusions", *Geosynthetic International*, **20**(1), pp. 39-46 (2013).
12. Moghaddas Tafreshi, S.N., Khalaj, O. and Dawson, A.R. "Pilot-scale load tests of a combined multilayered geo-cell and rubber-reinforced", *Geosynthetics International*, **20**(3), pp. 143-161 (2013).
13. American Society for Testing and Materials (ASTM), *Standard Practice for Classification of Soils for Engineering Purposes (Unified Soil Classification System)*, ASTM International, West Conshohocken, PA, USA, ASTM D2487-11 (2011).
14. American Society for Testing and Materials (ASTM), *Standard Test Methods for Laboratory Compaction Characteristics of Soil Using Modified Effort*, ASTM International, West Conshohocken, PA, USA, ASTM D1557-12 (2012).
15. Hsieh, C. and Mao, L. "A bench-scale performance test for evaluation of the geosynthetic reinforcement effects on granular base courses", *Geosynthetics Research and Development in Progress*, pp. 1-11 (2008).
16. Moghaddas Tafreshi, S.N., Tavakoli Mehrjardi, Gh. and Ahmadi, M. "Experimental and numerical investigation on circular footing subjected to incremental cyclic loads", *International Journal of Civil Engineering*, Iran, **6**(4), pp. 265-274 (2011).
17. Boussinesq, J. "Application des potentiels à l'étude de l'équilibre et du mouvement des solides élastiques", Albert Blanchard, Paris, (Reprinted, 1969 with an introduction by A. Caquot, Gauthier-Villars, Paris) (1885). (in French)
18. American Society for Testing and Materials (ASTM), *Standard Test Method for Nonrepetitive Static Plate Load Tests of Soils and Flexible Pavement Components, for Use in Evaluation and Design of Airport and Highway Pavements*, ASTM International, West Conshohocken, PA, USA, ASTM D1196-12 (2012).